

تغییر همزمان اسیدآمینه های Trp258 به Cys و His259 به Tyr در پروتئین ریبوزومی L3 در جهت افزایش تحمل به توکسین DON در گیاه تاریخت توتون

سمیرا شهربازی^{۱*}، ناصر صفائی^۲، امیر موسوی^۳، فروغ سنجربیان^۴ و عزیزالله علیزاده^۵

^۱، عضو هیات علمی گروه کشاورزی هسته‌ای، پژوهشکده تحقیقات کشاورزی، پزشکی و صنعتی سازمان انرژی اتمی،

کرج، ایران، ^{۲، ۵}، اعضای هیات علمی گروه بیماری‌شناسی گیاهی دانشکده کشاورزی، دانشگاه تربیت مدرس، تهران، ایران

^{۳، ۴}، اعضای هیات علمی بخش بیوتکنولوژی گیاهی، پژوهشگاه ملی مهندسی ژنتیک و زیستفناوری، تهران، ایران

(تاریخ دریافت: ۹۱/۱/۲۷ - تاریخ تصویب: ۹۱/۲/۲۰)

Simultaneous Changes of Trp258 to Cys and His259 to Tyr in Ribosomal Protein L3 in order to Increase Tolerance to *Fusarium* Toxin DON in Transgenic Tobacco

S. SHAHBAZI^{1*}, N. SAFAIE², A. MOUSAVI³, F. SANJARIAN⁴ AND
A. ALIZADEH⁵

1, Ph. D. of Molecular Mycology- Plant Pathology, Agricultural, Medical and Industrial Research School,
Nuclear Science and Technology Research Institute, Karaj, Iran. 2,5, Department of Plant Pathology,
Faculty of Agriculture, Tarbiat Modares University, Tehran, Iran. 3,5 Department of Plant Biotechnology,
National Institute of Genetic Engineering and Biotechnology (NIGEB), Tehran, Iran,

(Received: April. 15, 2012 - Accepted: May. 9, 2012)

Abstract

چکیده

Another mechanism for reduction the effects of deoxynivalenon toxin (DON) is target site (RPL3 protein) manipulation. In this study amino acid residue 258 is changed from tryptophan to cysteine and 259 from histidine to tyrosine in tomato ribosomal protein L3 (LeRPL3) cDNA through Site Directed Mutagenesis (SDM). Transgenic tobacco plants expressing these modified LeRPL3 cDNAs were tested for ability of leaf discs to regenerate and produce callus in the presence of DON. Significant differences in callus induction and ability to undergo regeneration was seen in transformed lines as compared to non-transformed tobacco plants in DON assays. Among the mutant types, marked difference with respect to resistance against DON was observed with regenerants expressing LeRPL3WC/HY; and plants expressing LeRPL3H²⁵⁹Y giving better response than transformants expressing LeRPL3W²⁵⁸C. The results indicate the possibility of increase in DON tolerance (and Fusarium head blight resistance respectively) among the plants based on expression of engineered RPL3.

یکی از مکانیسم‌هایی که در جهت کاهش تأثیرات توکسین داکسی نیوالون DON شناسایی شده، دستورزی جایگاه هدف آن پروتئین ریبوزومی L3 (RPL3) می‌باشد. در این پژوهش دو تغییر نقطه‌ای (اسیدآمینه شماره ۲۵۸ از تریپتوфан به سیستین و شماره ۲۵۹ از هیستیدین به تیروزین) در توالی DNA ژن cRPL3 گوچه‌فرنگی با استفاده از تکنیک جوش‌زنی با جایگاه مشخص (SDM) انجام پذیرفت. گیاه‌مدل توتون تاریخت با LeRPL3 ای دستورزی شده از نظر توانایی باززنی و تولید کالوس در حضور توکسین DON مورد آزمایش قرار گرفت. تفاوت‌های قابل توجهی از نظر توانایی تولید کالوس و باززنی در حضور DON در لاین‌های تاریخت در مقایسه با شاهد غیرتاریخت مشاهده گردید. در بین جوش‌های منفرد، در گیاهان حاوی LeRPL3H²⁵⁹Y پاسخ مقاومت به DON بهتری از خود نشان دادند. نتایج نشان می‌دهد که بیان و پروتئین RPL3 دستورزی شده می‌تواند در القای تحمل به DON و به دنبال آن افزایش مقاومت به بیماری FHB در گیاهان میزان مؤثر باشد.

واژه‌های کلیدی: داکسی نیوالون، پروتئین ریبوزومی L3

Keywords: Deoxynivalenol, Ribosomal protein L3

آگروباکتریوم به گیاه مدل توتون منتقل شد، تا تغییر در میزان مقاومت این گیاهان تاریخت به توکسین DON مورد بررسی قرار گیرد. شاید بتوان با ایجاد جهش‌های مصنوعی در *RPL3* و انتقال آن به واریته‌های حساس گدم مقاومت آن‌ها را نسبت به بیماری FHB افزایش داد.

مواد و روش‌ها

جهش‌زایی در ژن *LeRPL3* با تکنیک جهش‌زایی با جایگاه مشخص

پس از استخراج RNA کل از گیاه گوجه‌فرنگی (رقم Nun-hemz 6108) و به روش RT-PCR با جفت آغازگرهای طراحی شده ژن *Le-RPL3* با جفت آغازگرهای طراحی شده براساس توالی این ژن در بانک ژن با شماره دسترسی *Le RPL3* AY456411 تکثیر گردید. *cDNA* دارای یک ORF با ۱۱۷۰ جفت باز (۳۸۹ اسید‌آمینه) است و همولوژی بالایی با ژن *RPL3* مخمری دارد که جهش‌های مذکور نخستین بار در آن‌ها شناسایی شد (Mitterbauer *et al.* 2004). همچنین با توجه به مشابهت تاکسونومیک دو گیاه گوجه‌فرنگی و توتون (هر دو از تیره سولاناسه^۲ هستند)، به‌نظر می‌رسد که *LeRPL3* همولوژی بالایی با *RPL3* برای القای گیاه توتون داشته باشد لذا از *LeRPL3* برای ایجاد جهش‌های موردنظر استفاده شد. با استفاده از تکنیک SDM و طراح آغازگرهای همپوشانی که دارای جهش‌های نقطه‌ای موردنظر باشند دو قطعه حد واسط واجد هر کدام از جهش‌های $W^{258}C$ و $H^{259}Y$ ساخته و به یکدیگر اتصال داده شد. جهت دستیابی به ساختار ژنی $RPL3W^{258}C$ یک جفت آغازگر که در نوکلئوتید جایگاه ۷۷۲ ژهش تریپتوфан به سیستئین را ایجاد می‌نمایند و مکمل هم هستند طراحی شدند. برای انجام جهش دیگری به شکل

مقدمه

مکانیسم عمل تریکوتسین‌ها مهار سنتز پروتئین در یوکاریوت‌ها با اتصال به زیر واحد S⁶⁰ ریبوزومی و مهار فعالیت پیتیدیل ترانسفرازی آن است. L3 بزرگترین پروتئین ریبوزومی است که نقش اساسی در فعالیت پیتیدیل ترانسفرازی ریبوزوم دارد (Davis and Cundliffe, 1997; Cundliffe *et al.* 1974). در مخمرهای جهش‌یافته‌ای که مقاومت نسبی به تریکودرمین در آن‌ها مشاهده شده است، ماهیت جهش $W^{255}C$ تعیین شده که باعث افزایش مقاومت به تریکودرمین در اثر تغییر تریپتوфан ۲۵۵ (Schultz and Friesen, 1983; Mitterbauer *et al.* 2004) پس از وارد کردن به ژن *RPL3* برنج به گیاه توتون منتقل کردند. در کشت سوسپانسیون سلولی و ریزنمونه‌های برگی، تفاوت قابل توجهی در سرعت رشد و توانایی تمایزیابی گیاهان تاریخت DON مشاهده شد (Harris and Gleddie, 2001). در *RPL3* مطالعه دیگری جهش Y در گوجه‌فرنگی وارد و سپس به گیاه توتون انتقال داده شد. در حضور DON پروتئین تغییریافته بیان شده و سبب ایجاد مقاومت در گیاهان توتون تاریخت گردید (Mitterbauer and Adam, 2002). در حالی که در مقایسه توالی ژن‌های *RPL3* گندمهای مقاوم و حساس به FHB، تفاوتی در توالی نوکلئوتیدی آن‌ها مشاهده نشده است (Lucyshyn *et al.* 2006).

در این پژوهش با توجه به جهش‌های مخمرهای مقاوم به توکسین تغییرات $C^{258}W$ و $Y^{259}H$ با استفاده از روش جهش‌زایی با جایگاه مشخص^۱ در *RPL3* مربوط به *cDNA* گوجه‌فرنگی (*Lycopersicum esculentum*) وارد و با کمک

2. Solanaceae

1. Site-directed Mutagenesis (SDM)

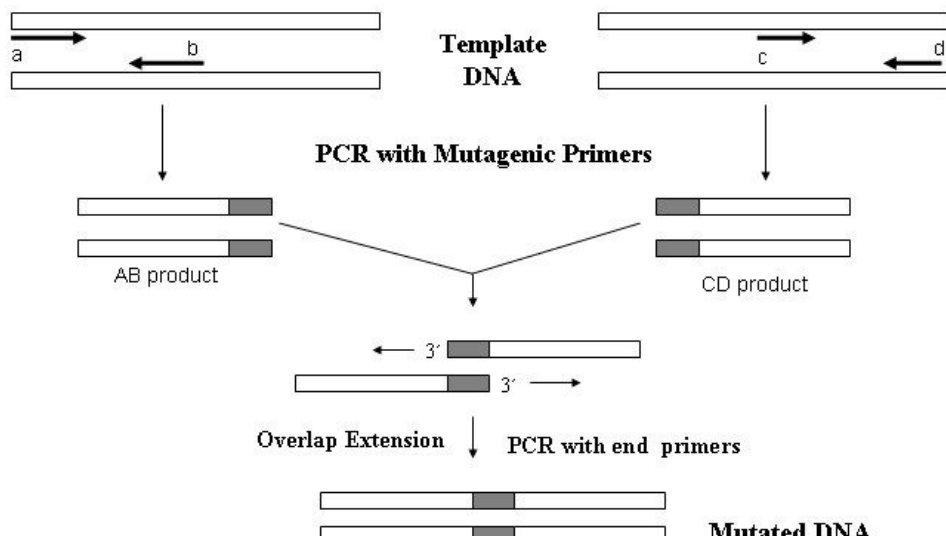
پروژه تولید این جهش‌یافته‌ها به صورت انفرادی برای دستیابی به لاین‌هایی از گیاهان تاریخت با سطح بالاتری از مقاومت بوده است. جفت آغازگرهای جهش‌زا که برای ایجاد جهش His²⁵⁹Tyr (هیستیدین به تیروزین) طراحی شده‌اند نیز دارای یک نوکلئوتید غیرقابل جفت‌شدن^۱ برای ایجاد جهش در نوکلئوتید جایگاه ۷۷۵ (تبديل نوکلئوتید C به T) هستند که توالی آن‌ها را در شکل ۱ مشاهده می‌کنید.

1. Mismatch

²⁵⁹H Y مورد استفاده قرار گرفته است. جهش (W²⁵⁸C) در نوکلئوتید شماره ۷۷۲ از G به C بوده و سبب تغییر اسیدآمینه شماره ۲۵۸ از تریپتوфан به سیستین در توالی پروتئین Le-RPL3 می‌شد. جهش (H²⁵⁹Y) در نوکلئوتید شماره ۷۷۵ از C به T بوده و سبب تغییر اسیدآمینه شماره ۲۵۹ هیستیدین به تیروزین می‌شود. انتخاب این دو جهش برای تولید RPL3‌های جهش‌یافته از آن جهت بود که هر دو جهش میزان بالایی از افزایش مقاومت به توکسین را در مطالعات قبلی بر روی مخمر و توتون نشان داده و از قدرت باززایی بالاتری نیز در مقایسه با سایر جهش‌یافته‌ها برخوردار بودند، لذا هدف ما در این

جدول ۱- آغازگرهای مورد استفاده برای ایجادجهش در ژن *Le-RPL3* با تکنیک SDM

نام آغازگر	توالی آغازگر
W258C (F)	GCTTGTATTGGTGCCCGGCATCCTGCTAGAGTTTCGG
W258RC (R)	ATGCC <u>GGG</u> CACCAATA <u>ACAAG</u> CAA
H ²⁵⁹ Y (F)	GCTTGTATTGGTGCC <u>TGGT</u> ATCCTGCTAGAGTTTCGGA
H ²⁵⁹ Y (R)	T <u>ACCAGG</u> CACCAATA <u>ACAAG</u> CAA



شکل ۱- طرح شماتیکی از مراحل انجام جهش با جایگاه مشخص با استفاده از واکنش PCR

حدواسط توسط آنزیم *Expand* پلیمراز، از قطعه *RPL3* است به عنوان الگو استفاده شد و دو واکنش پلیمراز برای ساخت دو قطعه که هر دو دارای جهش

واکنش زنجیره‌ای پلیمراز برای جهش‌زا و تکثیر *RPL3 W²⁵⁸C* ژن تکثیر قطعات حدواسط: برای تکثیر قطعات

۲/۳ بافر PCR، Mg^{2+} و dNTP است که به مدت ۳ دقیقه در دمای ۹۵ درجه سانتی‌گراد گذاشته می‌شود تا مرحله واسرشت‌سازی مگا آغازگرها کامل شود. mix2: حاوی ۱/۳ بافر PCR، یون Mg^{2+} و آنزیم *Expand* است که به mix1 افزوده شده و در واکنشی مطابق جدول ۳ قرار می‌گیرد.

جدول ۳- شرایط دمائی و زمانی واکنش PCR اول برای اتصال قطعات حدواسط

فاز	تعداد سیکل‌ها	دما (درجه سانتی‌گراد)	زمان (دقیقه)
واسرشت‌سازی	۹۵	۱	
اتصال آغازگر	۶۲	۱	۱۰
تکثیر	۷۲	۳	

در مرحله نهایی واکنش اتصال mix3: حاوی آغازگرهای ابتدا و انتهای ژن *Le-RPL3* و آنزیم *Expand* برای تکثیر نهایی قطعه حدواسط ۱۲۰۰ bp به ترکیبات قبلی افزوده شده و در واکنشی مطابق جدول ۴ قرار می‌گیرد.

جدول ۴- شرایط دمائی و زمانی واکنش PCR دوم برای اتصال قطعات حدواسط

فاز	تعداد سیکل‌ها	دما (درجه سانتی‌گراد)	زمان (دقیقه)
واسرشت‌سازی	۹۵	۱	
اتصال آغازگر	۶۲	۱	۲۰
تکثیر	۷۲	۱	

علاوه بر آن یک نسخه واحد هر دو جهش نیز تهییه گردید تا تأثیر هر یک از این جهش‌ها در ژن مورد نظر با تأثیر جهش همزمان دوگانه مورد مقایسه قرار گیرد. در نهایت محصولات PCR در پلاسمید pBluescript SK (Strategene) و *E. coli* (DH5α) انتقال یافته و به سلول‌های مستعد *E. coli* انتقال یافته و کلنجی‌های حاوی وکتورهای نوترکیب در

$W^{258}C$ و $H^{259}Y$ بوده و مکمل هم باشند، انجام شد. ترکیبات مورد نیاز برای این دو واکنش در جدول ۱ آمده است.

جدول ۱- ترکیبات مورد نیاز برای سنتز قطعات

دارای جهش	حجم (μl) ویال اول	حجم (μl) ویال دوم	ترکیبات
	۱/۷/۳	۱/۷/۳	ddH ₂ O
	۱/۵	۱/۵	۱۰X PCR Buffer
	۱	۱	MgCl ₂ (50 mM)
	۱	۱	dNTP (10 mM)
	-	-	TL3-ATG1
	-	۱	$W^{258}C$ (F) or $H^{259}Y$ (F)
	-	-	$W^{258}RC$ (R) or $H^{259}Y$ (R)
	-	۱	TomMyc-Rv
	۰/۷	۰/۷	<i>Expand</i> polymerase
	۱	۱	<i>RPL3</i>

جدول ۲- شرایط دمائی و زمانی مراحل مختلف واکنش PCR برای تکثیر قطعات حدواسط

تعداد سیکل‌ها	دما (دقیقه)	زمان (دقیقه)	فاز
۹۵	۳	۱	واسرشت‌سازی اولیه
۹۵	۱		واسرشت‌سازی
۶۲	۱	۳۰	اتصال آغازگر
۷۲	۱		تکثیر
۷۲	۱۰	۱	تکثیر نهایی

اتصال قطعات حدواسط: جهت اتصال قطعات حدواسط و به دست آوردن قطعه کامل PCR دوم انجام شد. در این مرحله هر کدام از قطعات حدواسط به عنوان آغازگرهای بزرگ primer عمل می‌نماید. در این واکنش سه ترکیب اصلی به نام‌های mix1، mix2 و mix3 ساخته شد. mix1: حاوی قطعات حدواسط به دست آمده از PCR های مرحله قبل به عنوان الگو به نسبت ۱:۲ (ویال اول: ویال دوم)،

(MS+0.1mg/ml Kinetin) و کالوس‌زایی (BA ۱۰ ppm NAA+10mg/ml Kinetin) که حاوی توکسین DON بود قرار گرفتند. تعداد جوانه‌ها و کالوس‌های جنین‌زای تشکیل شده بر روی قطعات برگی پس از سه هفته مورد شمارش قرار گرفت.

نتایج و بحث

جهش‌زایی در ژن *LeRPL3* با تکنیک جهش‌زایی با جایگاه مشخص

ژن *Le-RPL3* و قطعات حد老子ط واجد هریک از جهش‌ها و ژن دارای جهش دوگانه پس از تکثیر به صورت باند منفرد و در اندازه مورد انتظار، (۱/۲ kb). بر روی ژل الکتروفورز ظاهر گردید (شکل ۲ و ۳). صحبت توالی‌های همسانه‌سازی شده با مقایسه با توالی موجود در بانک ژن بوسیله توالی‌یابی تأیید شد و نشان داد که در توالی‌های همسانه‌سازی شده تنها جهش‌های مورد نظر رخ داده است (تغییر کدون TGG به کدون TGC در جهش WC و تغییر کدون CAT به کدون TAT در جهش HY) و بقیه توالی ژن حفظ شده است (شکل ۴).

تراریختی گیاهان توتون با نسخه‌های دستورزی شده *LeRPL3* و آنالیز مولکولی آن‌ها سازه‌های ژنی *RPL3H²⁵⁹Y-cmyc* و *RPL3H²⁵⁸W²⁵⁸C-cmyc* که در پلاسمید pSK+ کلون شده بودند، با هضم آنزیمی توسط آنزیمهای *SacI* و *pBI121* خارج شده و در پلاسمید *BamHI* تحت پیش‌برنده CaMV 35S و خاتمه‌دهنده NOS همسانه‌سازی شده و برای تراریختی *A. tumefaciens* سویه LBA4404 به روش ذوب و انجماد به کار برده شدند. انتقال جهش‌یافته‌های ژن *RPL3-cmyc* به ریزنمونه‌های برگی گیاه توتون (*Nicotiana tabacum* cv. Xanthi) به کمک آگروباکتریوم تراریخت با دو سازه *RPL3H²⁵⁹Y* و

محیط انتخابی غربالگری و برای توالی‌یابی ارسال گردیدند.

تراریختی گیاهان توتون با نسخه‌های *LeRPL3* دستورزی شده

نسخه‌های ژنی مذکور در ناقل دوگانه گیاهی pBI121 تحت پیش‌برنده CaMV 35S و خاتمه‌دهنده NOS همسانه‌سازی گردیدند. سپس به روش انجماد و ذوب کردن به سویه LBA4404 *Agrobacterium tumefaciens* تراریختی قطعات برگی¹ گیاهچه‌های توتون (*Nicotiana tabacum* cv. Xanthi) شدند. گیاهان تراریخت با ژن گزارشگر GUS به عنوان کنترل منفی تولید شدند. تراریختی گیاهچه‌های باززایی شده مقاوم به کاناامایسین (۱۰۰ mg/l) با استفاده از آنالیزهای مولکولی بررسی شد.

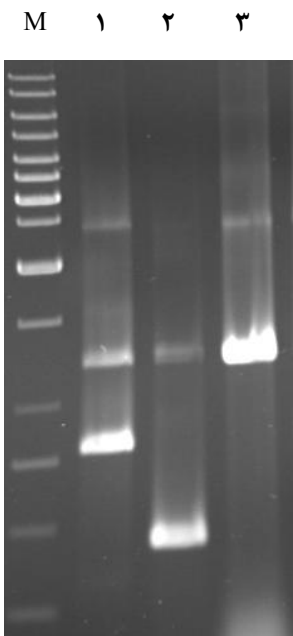
آنالیز مولکولی گیاهان تراریخت

انتقال تراژن به لاین‌های باززایی شده با استفاده از DNA ژنومی استخراج شده از گیاهان و آغازگرهای اختصاصی ژن مورد بررسی قرار گرفت. RNX-PlusTM (Cat. No. RNA cDNA RN7713C) کل نیز با کیت RT-PCR مشابه با PCR، نسخه‌برداری از تراژن بروزی شد. با استفاده از آغازگرهای و شرایط واکنش ساخته شد. با استفاده از آغازگرهای و شرایط واکنش RT-PCR انتظار می‌رود که این دو آغازگر قطعه‌ای معادل ۱/۲ kb را تکثیر نمایند.

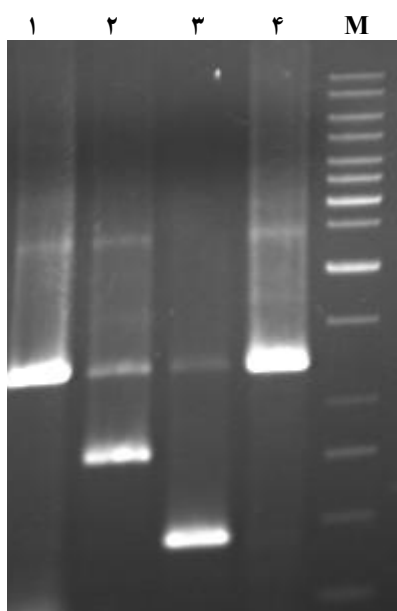
ارزیابی مقاومت به توکسین از طریق آزمون باززایی و کالوس‌زایی

قطعات برگی به قطر ۱-۲ سانتی‌متر از گیاهان تراریخت، غیرتراریخت و کنترل منفی بر روی محیط MS+0.1mg/ml NAA+1mg/ml شاخه‌زایی (

1. Leaf disk



شکل ۲- الکتروفورز محصولات حدواسط و نهائی در طی ایجاد جهش $RPL3$ با استفاده از SDM بر روی ژن $RPL3$ $W^{258}C$



M: نشانگر وزنی ۱ kb (Fermentas)
۱: محصول PCR برای اتصال دو قطعه با آغازگرهای ابتدا و انتهای ژن
۲: محصول PCR قطعه ۸۰۰ bp با آغازگرهای TL3-ATG1, HYR
۳: محصول PCR قطعه ۴۰۰ bp با آغازگرهای HYF, TomMycRv
۴: (قطعه ۱۲۰۰ bp) محصول PCR نهایی $RPL3H259Y$ با آغازگرهای ابتدا و انتهای ژن

شکل ۳- الکتروفورز محصولات حدواسط و نهائی در طی ایجاد جهش $H^{259}Y$ $RPL3W^{258}C$ بر روی ژن $RPL3$ با استفاده از SDM

حامل پلاسمید بدون قطعه ورودی $pBI121(-)$ (بودند. برای بازیابی گیاهچه‌های تراریخت، محیط بهینه‌سازی شده القای شاخه‌زایی (حاوی آنتی‌بیوتیک کانامایسین با غلظت 100 mg/L) استفاده شد. همچنین جلوگیری از رشد آگروباکتریوم با استفاده از

$RPL3 W^{258}C$ به روش ذوب و انجام داده انجام و منتقال موفق ژن‌ها و بیان آن‌ها در گیاهان تراریخت انجام شد (شکل ۵ و ۶). تیمار شاهد، باکتری‌های

1. Freeze and thaw method

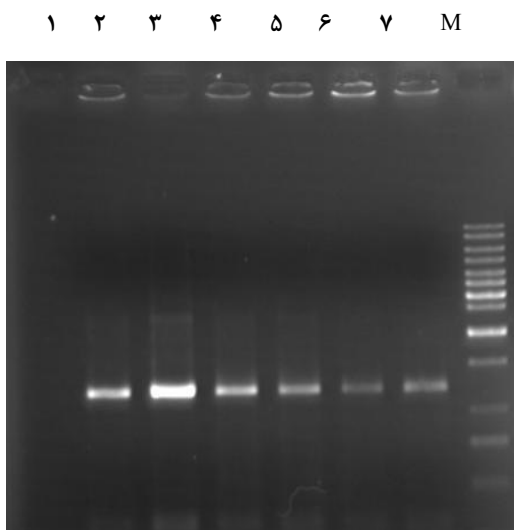
حافظت شده است و ایجاد جهش بر روی این ناحیه از پروتئین حساسیت ویژه‌ای خواهد داشت. جهش‌هایی که در این پژوهش با روش جهش‌زاوی با جایگاه مشخص^۱ انجام شد نیز در درون ناجیه مذکور قرار می‌گیرند (موقعیت ۲۵۸ و ۲۵۹). از سوی دیگر، فرآیند تاریختی خود ممکن است باعث بروز جهش‌های ناخواسته در گیاهان گردد، اما در لاین‌های تاریخت به دست آمده در این مطالعه تقریباً هیچ‌گونه ناهنجاری فنوتیپی یا ژنتیکی مشاهده نگردید و گیاهان تاریخت همانند گیاهان گذاشتند. نتایج حاصل از آزمون مقایسه بازیابی شاخه گیاهان تاریخت در محیط حاوی توکسین پس از یادداشت‌برداری با نرم‌افزار MSTAT-C Ver.1.42

1. Site-directed Mutagenesis(SDM)

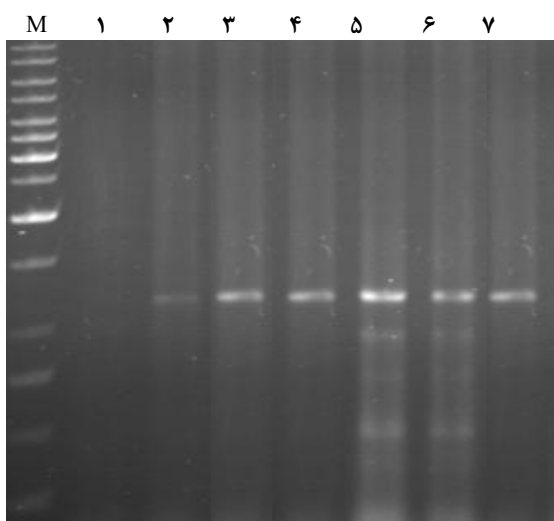
آناتی‌بیوتیک سفوتاکسیم با غلظت ۵۰۰ mg/L به عمل آمد. قطعات برگی غیرترایخت در محیط انتخابی به سرعت زرد شدند اما تعداد بسیار زیادی گیاهچه‌های سبز در محیط بازیابی در مدت ۵-۱۰ روز رشد نمودند. از بین گیاهان بازیابی شده در محیط انتخابی ۱۵ لاین (از هر نسخه ژن جهش‌یافته پنج گیاه) که انتقال و نسخه‌برداری تراژن در آن‌ها با آنالیزهای مولکولی به اثبات رسیده بود، در ارزیابی‌های مقاومت مورد استفاده قرار گرفتند. لازم به ذکر است در هیچ‌یک از گیاهان غیرتریخت و گیاهان تاریخت واجد ژن گزارشگر GUS هیچ‌گونه باندی با دو آغازگر اختصاصی ژن مشاهده نشد. ارزیابی مقاومت به توکسین از طریق آزمون بازیابی و کاللوس‌زاوی ناحیه بین اسیدهای آمینه ۲۶۳-۲۴۰ در پروتئین ریبوزومی L3 تقریباً در همه یوکاریوت‌ها به شدت

RPL3:	PGSKLHKKETCEAVTIVETPPMVIVGVVGYVKPRGLRCLNTVWAQHLSEDIKRRFYKNWCK	:	124
RPL3WCmyc:	:	124
RPL3HYmyc:	:	124
	* 140 * 160 * 180		
RPL3:	SKKKAFLKYSKKYETDEGKKDIQAQLEKLKKYACVIRVLAHTQIRKMKGKQKAHLMEIQV	:	186
RPL3WCmyc:	:	186
RPL3HYmyc:	:	186
	* 200 * 220 * 240		
RPL3 :	:NGGSIAQKVDFAYGFFEKFQVPVDAVFQKDEMIDIIGVTKGKGYEGVVTRWGVTRLPRKTHRG	:	248
RPL3WCmyc:	:	248
RPL3HYmyc:	:	248
	* 260 * 280 * 300 *		
RPL3 :	:LRKVACIGAWHPARVSFTVARAGQNGYHHRTEMNKKVYKLGKVGQESHTALTEFDRTEKDIT	:	310
RPL3WCmyc: C	:	310
RPL3HYmyc: Y	:	310
	320 * 340 * 360 *		
RPL3 :	:PIGGFPHYGVVKEDYLLIKGCCVGTKKRVVTLRQSLLNQTSRVALEEIKLFIDTSSKFGHG	:	372
RPL3WCmyc:	:	372
RPL3HYmyc:	:	372
	380		
RPL3 :	:GGFPHY : 388	:	388
RPL3WCmyc: EQKLISEEDL : 388	:	388
RPL3HYmyc: : 388	:	388

شکل -۴ - هم ردیفی توالی اسیدهای آمینه پروتئین RPL3 طبیعی نشان‌دهنده ایجاد تغییر در اسید آمینه ۲۵۸ (تغییر W به C) در RPL3W²⁵⁸C و تغییر در نوکلئوتید ۲۵۹ (تغییر H به Y) در RPL3H²⁵⁹Y است و توالی اپی توب نیز به انتهای ژن افزوده شده است. توالی‌های مشابه به صورت نقطه چین نشان داده شده است.



شکل ۵- الکتروفورز محصولات حاصل از gPCR برای تأیید تاریختی گیاهان توتون



شکل ۶- الکتروفورز محصولات RT-PCR برای تأیید نسخه برداری از تراژن در گیاهان تاریخت

مشابهی نیز در آزمون کالوس‌زاوی بدهست آمد. بطور کلی جهش $RPL3H^{259}Y$ در مقایسه با $RPL3W^{258}C$ سطح بالاتری از مقاومت را در گیاهان تاریخت القا می‌نماید. هرچند در لاین‌های دارای جهش دوگانه مقاومت بالاتری مشاهده شده اما با توجه به نزدیکی میزان مقاومت در آن‌ها با گیاهان واجد جهش $RPL3H^{259}Y$ بهنظر می‌رسد این جایگزینی در کاهش باندشدن توکسین با جایگاه

- ۱: کنترل منفی (گیاه غیرتاریخت)
- ۲: کنترل مثبت ($RPL3$ همسانه سازی شده در pBI121)
- ۳: لاین‌های مختلف تاریخت با $RPL3-HY$
- ۴: لاین‌های مختلف تاریخت با $RPL3-WC$
- ۵: لاین‌های مختلف تاریخت با جهش دوگانه
- M: نشانگر وزنی (Fermentas) 1Kb Ladder

- M: نشانگر (Fermentas) 1Kb Ladder
- ۱: کنترل منفی (گیاه غیرتاریخت)
- ۲ و ۳: لاین‌های مختلف تاریخت با $RPL3-HY$
- ۴: لاین‌های مختلف تاریخت با $RPL3-WC$
- ۵ و ۶: لاین‌های مختلف تاریخت با جهش دوگانه
- ۷: کنترل مثبت ($RPL3$ (WC/HY) همسانه سازی شده در pBI121)

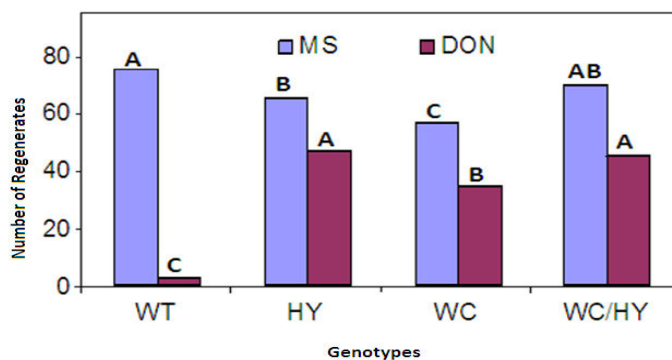
آنالیز و تفاوت معنی‌داری در سطح ۱٪ میان گیاهان تاریخت در مقایسه با گیاهان غیرتاریخت (عنوان کنترل منفی) مشاهده شد (شکل ۷). مقایسه میانگین‌ها با آزمون LSD نشان دادند که تعداد شاخه‌های باززاوی شده در لاین‌های تاریخت دارای جهش دوگانه و لاین‌های تاریخت با سازه $RPL3H^{259}Y$ بالاتر از لاین‌های تاریخت با سازه $RPL3W^{258}C$ بود (شکل ۸). نتایج

بازدارنده مهارکننده‌های نوع I، شکستن پلی‌زوم‌ها رخ می‌دهد. مهارکننده‌های مرحله پایان (نوع T) در هیچ غلطی سبب شکسته شدن پلی‌زوم‌ها نمی‌شوند. حتی اگر mRNA در زمان اضافه کردن توکسین کاملاً توسط ریبوزوم‌ها پوشیده نشده باشد، اندازه پلی‌زوم‌ها افزایش خواهد یافت. مهارکننده‌های مرحله طویل‌شدن (نوع E) حرکت ریبوزوم‌ها را در طول mRNA مهار می‌کنند. در این حالت نیز پلی‌زوم‌ها کاملاً از بین نخواهند رفت. از سوی دیگر نوع مهارکنندگی بعضی تریکوتسین‌ها نتیجه عملکرد

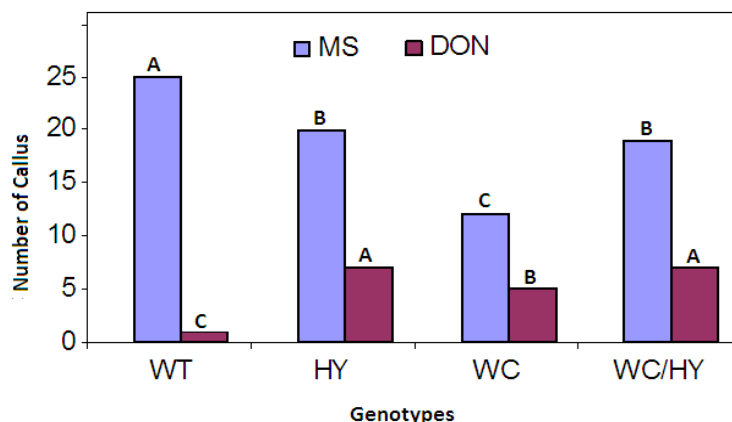
اثرش (پروتئین RPL3) از تأثیر بالاتری برخوردار باشد.

تریکوتسین‌ها برای اتصال به جایگاه‌های یکسانی با هم رقابت می‌کنند و مکانیسم‌های بازدارندگی متفاوتی براساس اثرات آن‌ها بر سیستم‌های ترجمه (Cundliffe and Davies. 1977) در *in vitro* شناسائی شده است. توکسین T-2 و نیوالنول فقط به ریبوزوم‌های آزاد متصل شده و مرحله آغاز ترجمه را مهار می‌کنند (مهار نوع I). در غلط‌های کاملاً

1. Initiation



شکل ۷- مقایسه توانایی باززایی (Regeneration) در گیاهان تراریخت با نسخه‌های جهش‌یافته ژن *Le-RPL3* در محیط MS و در حضور ۱۰ ppm DON. گیاه غیرتراریخت؛ HY، گیاه تراریخت با جهش *RPL3H²⁵⁹Y*؛ WC، گیاه تراریخت با جهش *RPL3W²⁵⁸C* و گیاه تراریخت با جهش دوگانه WC/HY



شکل ۸- مقایسه توانایی تولید کالوس (Callus induction) در گیاهان تراریخت با نسخه‌های جهش‌یافته ژن *Le-RPL3* در محیط MS و در حضور ۱۰ ppm DON. گیاه غیرتراریخت؛ HY، گیاه تراریخت با جهش *RPL3H²⁵⁹Y*؛ WC، گیاه تراریخت با جهش *RPL3W²⁵⁸C* و گیاه تراریخت با جهش دوگانه WC/HY

RPL3 تغییر یافته به تنها یی از کارایی کافی برای افزایش مقاومت به توکسین برخوردار نباید. لذا در مطالعات بعدی خاموش کردن ژن های RPL3 درونی گیاه و بررسی میزان مقاومت در حضور ژن های جهش یافته برای بررسی پتانسیل این مکانیسم در تقویت مقاومت پیشنهاد می شود.

با توجه به مزایا و معایبی که برای هریک از مکانیسم های مولکولی متداول افزایش مقاومت به توکسین ها اشاره شد، دست یابی به سطوح مقاومت بالاتر با توسعه لاین های تاریختی که مکانیسم های متعدد مقاومت از قبیل RPL3 جهش یافته، سمزدایی توسط آنزیم ها و سایر راهکارها در آن مجتمع شده باشد قابل دسترس خواهد بود.

سپاسگزاری

از پژوهشگاه ملی مهندسی ژنتیک و زیست فناوری، طرح ۲۵۹ و گروه بیماری شناسی دانشکده کشاورزی دانشگاه تربیت مدرس بدلیل فراهم آوری امکانات انجام این پروژه تشکر و قدردانی می گردد.

REFERENCES

- Cundliffe E, Davis JE. (1997) Inhibition of initiation, elongation and termination of eukaryotic protein synthesis by trichothecens fungal toxin. *Antimicrobial Agents and Chemotherapy*. 11(3): 491-99.
- Cundliffe E, Cannon M, Davies J (1974) Mechanism of inhibition of eukaryotic protein synthesis by trichothecene fungal toxins. *Proc. Natl. Acad. Sci. USA*. 71: 30-34.
- Harris LJ, Gleddie SC (2001) A modified *Rpl3* gene from rice confers tolerance of the *Fusarium graminearum* mycotoxin deoxynivalenol to transgenic tobacco. *Physiol. and Mol. Plant Pathol.* 58: 173-181.
- Lucyshyn D, Bush BL, Abolmaali Sh, Steiner B, Chandler E, Sanjarian F, Mousavi A, Nicholson P, Bursmayr H, G Adam (2006) Cloning and Characterization of ribosomal protein L3(RPL3) gene family from *Triticum aestivum*. *Mol. Genet. Genomics.* 2: 122-134
- Schultz LD, Friesen JD (1983) Nucleotide sequence of the *tcml* gene (Ribosomal protein L3) of *Saccharomyces cerevisiae*. *J. Bacteriol.* Jul. 155 (1): 8-14.
- Mitterbauer R and Adam G (2002) *Saccharomyces cerevisiae* and *Arabidopsis thaliana*: useful model systems for the identification of molecular mechanisms involved in resistance of plants to toxins. *Eur. J.*

Plant Pathol.108: 699-703.
Mitterbauer R, Poppenberger B,
Raditschnig A, Lucyshyn D, Lemmens
M, Gloss and Adam G (2004) Toxin-
dependent utilization of engineered
ribosomal protein L3 limits
trichothecene resistance in transgenic
plants. J. Plant Biotechnol. 2: 329-340.

